

# High Performance Concrete Engineering

Final Exam (Nov 13<sup>th</sup> 6pm-8:00pm)

Name: 2017-23536 박지수 /

95

Total 10 problems (100 marks)

- 8.25 liters of naphthalene superplasticizer with a specific gravity of 1.21 and a solids content of 30% have been used in order to obtain the desired slump. What is the volume of water that should be deducted from the mixing water content of high strength concrete? [5 marks]

$$V_{\text{disp}} = 8.25 \text{ l}$$

$$M_{\text{disp}} = 1.21 \times 8.25 \text{ l} = 9.9825$$

$$S = \frac{M_{\text{sol}}}{M_{\text{disp}}} = 0.3, \quad M_{\text{sol}} = M_{\text{disp}} - M_{\text{water}} \quad \frac{M_{\text{water}}}{M_{\text{disp}}} = \frac{V_{\text{water}}}{M_{\text{disp}}} = 0.7 \quad (M_{\text{disp}} = M_{\text{sol}} + M_{\text{water}})$$

$$\therefore V_{\text{water}} = 0.7 \times M_{\text{disp}} = 0.7 \times 9.9825 = 6.99 \text{ l}$$

이 6.99 l 를 mixing water 0.1m 제작할 때



- Provide some practical solutions when concrete mix is stuck in a ready-mix truck at job sites. [5 marks]

1) 만약 레이미콘 퍼마프레스팅 문제가 발생하면 헤더를 대기하고 콘크리트가 Setting하지 않아도 하므로 retarder를 투입해야 한다. 현장에서 가장 쉽게 구할 수 있는 retarder는 석회석으로 재료 자체를 바탕으로 저자연석 석회석의 성분물을 제거 투입한다.

2) mix 자체가 빙동에 액화되는 빙동, Air-entraining admixture 또는 superplasticizer를 투입하여 재료의 workability와 pumpability를 개선하고 segregation, bleeding이 일어나는 원인을 차단한다.



3. Compare the characteristics of ITZ in normal weight concrete and lightweight concrete. [5 marks]

- 일반자중률 normal weight concrete의 ITZ는 wall effect로 인해 주변부의 시멘트 미로리스에 비해 w/c가 높고 따라서 porosity와 localized bleeding 현상이 높다. 또한 C-S-H에 비해 Ca가 크게 저작화되어있고 ettringite가 주로 비해 진출되어있다.  
이후로 측정에 의해 normal weight concrete에서 대체로 ITZ가 가장 약한 부분이며 crack이 ITZ를 따라 발생한다
- lightweight concrete는 주로 lightweight aggregate를 추가하여 중량을 줄이는데, lightweight aggregate의 비공간에 물기 흡수성이 있다가 수화반응과 증발이 진행됨에 따라 내부에 수분을 공급한다. 이러한 작용으로 self-desiccation을 방지하고 internal curing을 촉진하여 LWA와 시멘트 페인트 사이의 부착을 개선시키고 ITZ 내부의 microstructure를 보다 밀실하게 만든다. 따라서 lightweight concrete의 경우 LWA의 강도에 의해 결정된다

4. Explain why lightweight concrete can enhance thermal properties. [5 marks]

콘크리트의 중량은  
마체하나 시멘트 페인트의 경우 air void 함량을 증가시키는  
방식 (SAP 첨가, autoclaved aerated concrete)으로 줄일 수 있다  
이러한 과정에서 lightweight concrete의 내부에 열전달률이  
아주 낮은 빈기로 차있는 pore가 다량 포함되어 전기적으로  
열전달속도를 감소시키는 효과를 가져온다



5. Below paragraph is from the actual project bidding (입찰) guideline in Singapore which Samsung C&T had applied.

DESIGN AND CONSTRUCTION OF SEWER TUNNELS FOR THE DEEP TUNNEL  
SEWERAGE SYSTEM PHASE 2 PROJECT – CONTRACT T-08

2-3-3 - TUNNEL AND RELATED WORKS

2.3 Design of Tunnel and Related Works

- 2.3.1 The Contractor shall ensure that the design of the tunnel linings is fully compatible with his proposed method for the construction of the tunnel. This construction method shall be subjected to the acceptance of the S.O.
- 2.3.2 The design of the tunnel linings shall take into account inter alia of the required life span (100 years), the proposed use, the ground conditions, proximity of the tunnels to other underground infrastructures and adjacent structures, the sequence and timing of construction.

As a concrete engineer in the Samsung C&T, suggest competitive winning strategy to this bidding. [10 marks]

- 지하에 매설되는 sewer pipe system의 목표 life span을  
서로 다른 다른 시기 기준에서는 다음과 같은 내용을 고려해야 함
  - 1) 홍수시 바이러스와 화학부산물인 H<sub>2</sub>S 기준의 용해로  
발생하는 sulphuric acid attack
  - 2) 터널 표면을 ground water로 의해 발생하는  
acid attack, sulfate attack
- 내구성 저하를 방지하기 위해 기준으로 다음과 같은 저력을  
고려할 수 있음
  - 1) 보다 일상화된 콘크리트 재료
  - 2) sulfuric acid에 의해 끊어지지 않는 coating film
- 아래에 제시된 방안의 장단점 시급성을 검토한 것을 제안함
  - 1) UHPC : w/c가 매우 낮고 일상하여 그 자체로  
sulfate attack에 저항성이 우수함
  - 2) GGBFS, FA 등 mineral admixture 첨가 및  
Resin, Bitumen 등 추가적인 coating : 산성부산물과  
mineral admixture로 단자를 넓히고 w/c를 낮춰  
강령을 낮출 수 있음
  - 3) C3A 함량이 낮은 시멘트 사용 및 PVC coating 등 다른 방안 검토

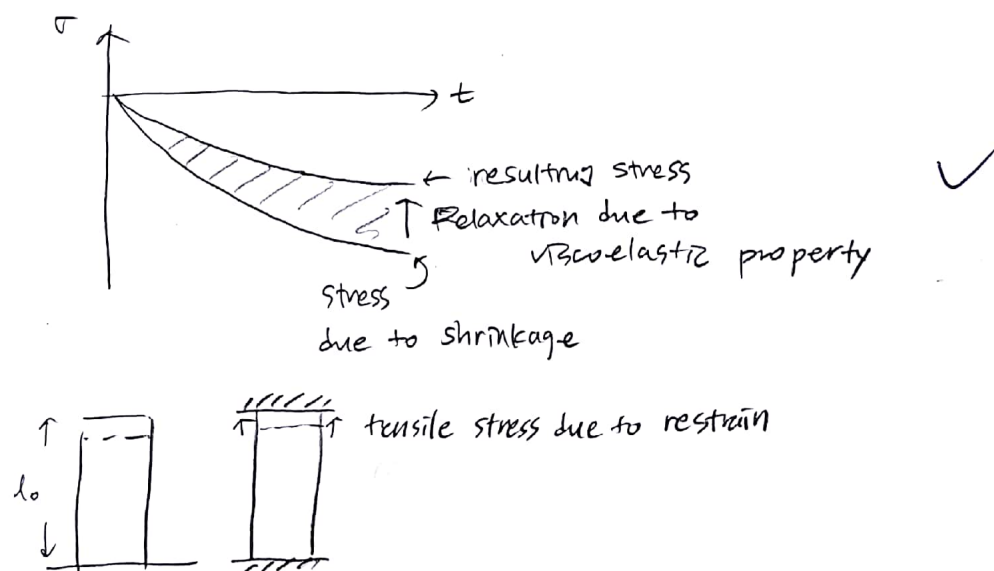
6. A concrete sample is exposed to low humidity. Plot the evolution of the stress caused by the shrinkage assuming that a) the sample is unrestrained, and b) the sample is restrained and concrete is viscoelastic. [10 marks]

① Shrinkage in unrestrained condition.



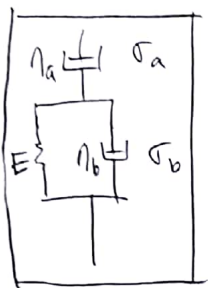
콘크리트 표면에는 구속되어 있지 않으므로 변형에 의한 응력이 발생하지 않는다 ( $\sigma = 0$ )

② Shrinkage in restrained condition



그리고  $l_0$ 을 유지하도록 구속하면 이를 입한 압축응력이 발생하지만 콘크리트의 viscoelastic 성질로 stress relaxation이 발생된다

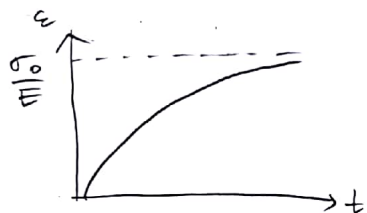
7. Place a Kelvin unit in series with a dashpot: (a) draw a creep curve, (b) what is the value of the initial elastic strain during a creep test? (c) what is the asymptotic value (점근선값) of the strain during a creep test? (d) draw a relaxation curve, (e) is there a long-term permanent deformation if the load is removed? [20 marks]



$$\begin{aligned}\sigma &= \sigma_a + \sigma_b \\ \varepsilon &= \varepsilon_a + \varepsilon_b \\ \sigma_a &= \eta_a \dot{\varepsilon}_a \\ \sigma_b &= E \varepsilon_b + \eta_b \dot{\varepsilon}_b\end{aligned}$$

✓

(a) creep curve



✓

(b) value of initial strain = 0

이지  $\sigma_0$  을 가하거 때 dashpot 옆에 변형이 일어나지

시간이 흘러가기 때문에  $\varepsilon(t=0) = 0$

(c) 충분한 시간이 흘러 dashpot의 흐름이 0으로 수렴할

것이고 따라서 B를 stress는 spring에서 받을 것임을 유추할 수 있음

therefore asymptotic value =  $\frac{\sigma_0}{E}$

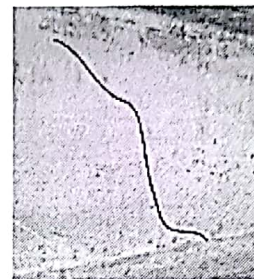
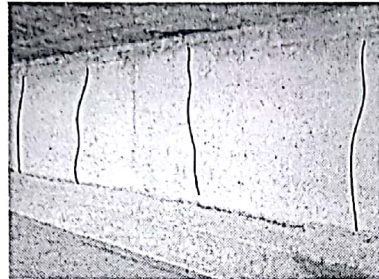
✓

(d) relaxation test를 수행하기 위해서는 일정한 변형률  $\dot{\varepsilon}_0$  를  
유지해야 하며 동시에 위와 같은 모태에서에서는 불가능하다. 이 문제는  
relaxation modeling에는 적용하기 어렵 것으로 시정된다

✓

(e) 하중을 제거하고 나면 spring에서 발생한 elastic strain은 회복될 것이고  
dashpot에서 발생한 변형의 일부는 permanent 할 것으로 시정된다

8. Below crack patterns were observed in precasted concrete segment before the structure in service or in loading. a) What would be the potential cause of these crack pattern? b) How can we prevent these cracks? [10 marks]



1) 위의 균열들은 품연에 넓게 발생하였고 균열 깊이가 얕을 것으로 보이며, in service 이전에 발생하였다는 점을 미루어 봄아 plastic shrinkage 의 가능성성이 높다

한편 프리캐스팅 부재망에도 부재하단에 구속장치의 되었던  
후단기이 있다면 양상 중 온도가 강차 하강함에 따라  
균열이 발생되었을 가능성이 있을 것으로 보인다

→ 5

2) plastic shrinkage를 방지하기 위해서는

- 초기 양상을 기간에 수분 손실을 해야 하므로
  - Fog slab 처리
  - 초기 콘크리트 온도를 낮춤
  - PP fiber 등을 포함
  - wind break이나 sunshade를 설치
- 유타 같은 방법을 이용한다

9. If the tensile strength of concrete at early age is 1.5 MPa, draw potential crack pattern (cracking shape or crack length) of below concrete element ( $L/H=2$ ) considering the variation of degree of restraint. [10 marks]

Maximum temperature difference =  $55^{\circ}\text{C}$

Elastic modulus = 10 GPa

Creep coefficient = 0.5

Coefficient of thermal expansion =  $10 \times 10^{-6}/^{\circ}\text{C}$

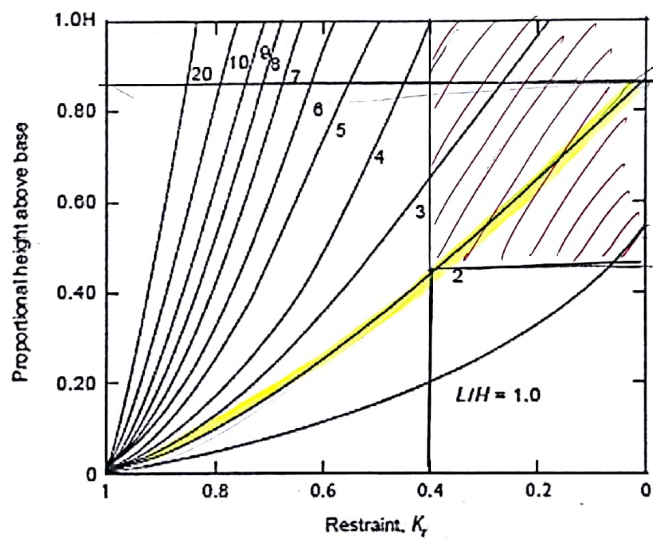
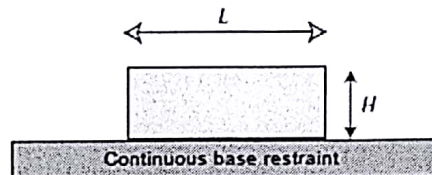


Figure 4-18 Degree of tensile restraint at center section. (Source: ACI Committee 207, Cooling Mass Concrete, 1998.)

① 위의 그림에선  $L/H=2$  일 때  $0.5 \times 0.85H$  부위는 균열 발생 X

$$\begin{aligned} \textcircled{1} \quad \sigma_f &= k_r \frac{E}{1+\varphi} \propto \Delta T \\ &= k_r \cdot \frac{10 \times 10^3}{1+0.5} \times 10 \times 10^{-6} \times 55 \\ &= k_r \times 3666.67 \times 10^{-3} \end{aligned}$$

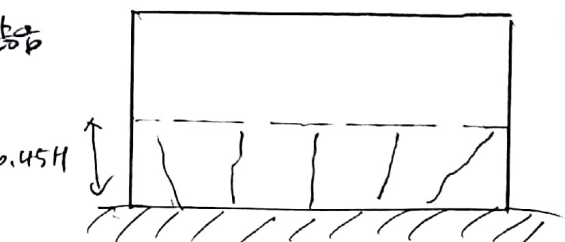
$\leq 1.0 \text{ concrete tensile strength}$  ✓

② 균열 형상은 crack pattern X

$$k_r < \frac{1.5}{3666.67 \times 10^{-3}} = 0.41$$

즉  $0.41H$  위에는 균열 발생하지 않음

7



10. Below equations are the creep compliance  $J$  defined in ACI and FIB, respectively. Discuss how they differently use Young's modulus and quantitatively compare its result. Use  $E_c = 0.85E_{ci}$  if necessary. [20 marks]

①

FIB:

$$J(t, t') = \frac{1}{E_{ci}(t')} + \frac{\phi(t, t')}{E_{ci}}$$

ACI:

$$J(t, t') = \frac{1}{E_c(t')} + \frac{\phi(t, t')}{E_c(t)} \times 0.85$$

① 동일한 creep coefficient 와 재료에 대한 조건이 주어졌을 때  
creep compliance 를 계산하면,

$\left. \begin{array}{l} f_{cm} = 32 \text{ MPa}, \text{ moist curing}, \phi = 1.0 \\ \text{time of loading} = \text{concrete age} = 365 \text{ days} \end{array} \right\}$

Fib:

$$\begin{aligned} E_{ci} &= E_{co} \left( \frac{f_{cm}}{f_{cmo}} \right)^{\frac{1}{3}} \\ &= 2.15 \times 10^4 \times \left( \frac{32 \text{ MPa}}{10 \text{ MPa}} \right)^{\frac{1}{3}} \\ &= 31100 \text{ MPa} \end{aligned}$$

ACI:

$$\begin{aligned} f'_c(t) &= \frac{t}{at+bt} \quad f'_{c28} = \frac{365}{4+0.85 \times 365} \times 32 \\ &= 31.18 \text{ MPa} \end{aligned}$$

$$\begin{aligned} E_c(t) &= E_c(t') = 0.043 \times 2400^{1.5} \times \sqrt{31.18} \\ &= 30821. \text{ MPa} \end{aligned}$$

$$\begin{aligned} \beta_{cc}(t) &= \exp \left\{ S \left( 1 - \sqrt{\frac{t}{E/t_1}} \right) \right\} \\ &= \exp \left\{ 0.35 \left( 1 - \sqrt{\frac{28}{365}} \right) \right\} \\ &= 1.268 \end{aligned}$$

$$\begin{aligned} E_{ci}(t') &= \sqrt{\beta_{cc}(t)} \cdot E_{ci} \\ &= 35980 \text{ MPa} \end{aligned}$$

$$J(t, t') = \frac{1}{35980} + \frac{1.0}{31100} = 8.46 \times 10^{-5} \quad J(t, t') = \frac{1}{30821} + \frac{1.0}{30821} = 9.06 \times 10^{-5}$$

② i) Fib code 와 ACI code 를 각각 elastic strain 을 계산하기 위하여  
하중 지속시간의  $E$  를 사용한다.

ii) Fib code 는 creep strain 계산에 constant  $E_{ci}$  를 사용하는  
반면, ACI 는 콘크리트 재료에 해당하는 (target time)에서의  
 $E_c(t)$  를 이용한다. 이때 Young's modulus  $E$  를 28일 이후  
까지 증가하지 않는데 이 값을 initial tangent modulus  $E_{ci}$  의 약  
85%로 해석하여 이러한 차이로 ACI 가 Fib code 에 비해  
낮은 강도를 예측, 티끌 creep compliance 를 계산하게 된다